

RNA を抽出し、逆転写反応を行って cDNA を得た。この cDNA プールを用いた PCR を行い、RA14-17 の cDNA の一部の配列を増幅した。増幅した断片は塩基配列を調べ、目的のものであることを確認した後、得られた増幅断片を pENTR/D-TOPO cloning vector に挿入し、Entry vectorとした。この Entry vector と RNAi ベクターである pANDAとの間で LR 反応を行った。なお、pANDA は奈良先端科学技術大の島本研究室より分与していただいた。

形質転換体の種子における RA14-17 低減の検定

形質転換体の種子に含まれる RA14-17 をウエスタン分析により分析した。それぞれの形質転換体より得られた種子のうち、6 粒を無作為に選択し、これを半分に分割して胚芽を含む部分と含まない部分に分けた。次に、このうちの胚芽を含まない部分（胚乳）をすりつぶして、これから粗タンパク質を抽出した。それぞれを SDS-PAGE で分離し、これについて抗 RA14-17 抗体を用いたウエスタン分析を行った。ウエスタン分析に用いた抗体には、大腸菌系発現系を用いて調製した組換え体タンパク質をウサギに免疫して得られた抗ウサギ血清（抗 RA14-17 抗体）を用いた。

低アレルゲンの形質を示した種子について、対応する残りの半分（胚芽を含む部分）を、25 µg /m1 のハイグロマイシンを含む培地に播種し発芽させた。これらの薬剤耐性を有する形質転換体の後代個体として選抜し、これらの植物体は発芽後の芽生えをポットに移植し、これを組換え体温室で栽培した。これらの植物は夏期に自然光のもとで 28°C の温室で栽培した。

ホモ接合体系統の形質転換体の選抜

それぞれの系統から得られた種子より無作為に選んだ 12 粒を用いて同様の方法で粗タンパク質を抽出し、玄米に含まれるアレルゲンタンパク質の量を調べた。

(3) 低アレルゲン米のタンパク質発現差異解析

遺伝子組換え米には (2) の方法で作製した、

米アレルゲン RA14-17 をノックダウンした米 (RA-KD) を用いた。また、対照に非組換えの日本晴 (NT) を用いた。米粉末 10 m g に溶解バッファー(30 mM Tris, 8 M urea, 4% CHAPS) 3 mL を加えてタンパク質を抽出し、10,000 rpm, 10 min で遠心後、沈殿を取り除いた。抽出のレプリケートは 3 回とした。研究(1)と同様に 2D-DIGE を行い、RA-KD と NT 間で 2 倍以上の発現差異を示すスポットを抽出した。発現差異が認められたタンパク質の同定には、コメタンパク質 (100 µg) を 2 次元分離した後、アクリルアミドゲルを CBB 染色し、相当するスポットを切り出した。切り出したゲルは脱色した後、50% アセトニトリル・25 mM 重炭酸アンモニウム溶液で脱水し、乾燥させた。乾燥したゲルにトリプシン溶液 (30 µg/ml Trypsin Gold-Mass Spec Grade, 0.01 % Protease max [Promega 社]) を加え、37°C で 2 時間ゲル内消化を行った。消化ペプチドを α-Cyano-4-hydroxycinnamic acid (α-CHCA, Sigma-Aldrich 社) と混合し、4800 MALDI TOF/TOF Analyzer (Applied Biosystems 社) を用いて、トリプシン消化ペプチドの MS スペクトルおよび MS/MS フラグメントイオン質量を取得した。タンパク質同定のサーチエンジンには Mascot MS/MS ion search (Matrix Science 社) を用い、NCBInr タンパク質データベース (*Oryza sativa*) 内での相同性検索を行った

(4) アレルゲン予測の解析法

2011 年 6 月から 2012 年 5 月の間に NCBI PubMed に収載された論文のうち、キーワード検索によりエピトープ配列決定に関するものを抽出し、ピアレビューを行ってエピトープ情報を報告していると判断された文献に記載されているエピトープ情報を ADFS のデータに追加した。

(5) 動物モデルを用いるアスタキサンチンレタスのアレルギー性の解析

7 週齢の雌性 BALB/c マウスを用い、媒体対照 (E) 、非組換えレタス (NG) 、アスタキサン遺伝子導入レタス (GM) 、陰性対照としてペ

プシン (PEP) および陽性対照として卵白アルブミン (OVA) 投与群を 5-6 匹/群で設定した。非組換えあるいはアスタキサン遺伝子導入レタス 1 g に対して 1 mL のリン酸緩衝生理食塩液 (PBS) を加えて乳鉢で粉碎した。ホモジネートを 4°C 下、10000 g で 30 分間遠心分離した上清を限外ろ過膜 (分子量 3000) で濃縮して抽出液を得た。それぞれのレタス抽出液に、等量のリノール酸/大豆レシチン混合液 4:1 (LL) を加えて乳化し、NG 群あるいは GM 群に用いた。E、PEP および OVA 群の媒体は、PBS と LL の乳化液とした。いずれの群も 2 回/週の頻度でサリチル酸ナトリウム (SA) 0.3 mg/匹を併用下、それぞれの蛋白質 1 mg/匹を 2 回/週の頻度で経口投与して 3 週間感作した。感作 3 週間後に各蛋白質 8 mg/0.4 mL LL/匹の割合で経口投与して惹起 (1 回目) した。さらに、2 週間後、卵黄レシチンを用いた LL を媒体として 8 mg/0.4 mL/匹の割合で経口投与して惹起 (2 回目) した。惹起後 30 分間に観察されるアナフィラキシー症状の強さにスコアをつけ、1 匹のマウスが示した症状の最大スコアをその個体のスコアとした。各投与群間の差は Mann-Whitney の方法で検定した。また、2 回目の経口惹起の 6 日後に採血し、血清中の抗原特異的 IgG1 抗体を ELISA で測定し、感作の成立を確認した。

(倫理面への配慮)

動物への投与実験においては、動物の苦痛を最小限に留めるよう努め、動物飼育・管理に当たっては食品薬品安全センター秦野研究所の利用規程に従った。

C. 研究結果

(1) アスタキサンチン発現レタスのタンパク質発現差異解析

予備検討として、市販されているレタスの外側の葉と内側の葉からタンパク質を抽出し、蛍光標識して 2 次元電気泳動に供した。Fig. 1 に示すように、外側の葉と内側の葉ではタンパク質の組成が大きく異なっていることが明らかとなった。

NT レタスと TF レタスの発現差異解析では、内側の葉と外側の葉を混合したサンプルを供した。1 次元電気泳動パターンを比較したところ、明らかに発現量が異なっているタンパク質のバンドは観察されなかった (Fig. 2)。2D-DIGE 解析の結果、再現性良く得られた(>50%) 450 スポットのうち、非組換えと組換え間で 2 倍以上の発現差を示すスポットは無かった。

アレルゲン LTP (11.5 kDa, pI 9.04) は粗抽出物の 2 次元マップより同定することができず、これはタンパク質含量が少ないと考えられた。そこで、京都女子大学 成田博士の方法に従い、CM による LTP の精製を試みた。その結果、作製したウサギ抗 LTP 抗体を用いた Western blot にて、レタス葉重量に対して 0.00025% の LTP を精製できたことが確認された (Fig. 3)。遺伝子組換えレタスは十分な重量が確保できなかつたため、Western blot に供するだけの LTP の精製はできなかつた。今後、追加として石川県立大学より供与されたアスタキサンチン発現 GM レタスを用いて、LTP タンパク質に関して更なる解析を行う予定である。

(2) 低アレルゲン (主要アレルゲン RA14-17 ノックダウン) イネの作出

14-17 kDa アレルゲンタンパク質(RA14-17) を抑制するための RNAi の標的配列の選択と RNAi の構築

イネの RA14-17 をコードする遺伝子は、ゲノム中に 4 コピー (RA14, RA16, RA17, RAG5) 存在した。またこの遺伝子に由来すると思われる他種類の cDNA がデータベースに登録されていた。これらの塩基配列を比較したところ、これらは非常に相同性が高いことがわかつたため、共通性の高い領域の配列を利用して RNAi を作製することにした (Fig. 4)。Entry vector と RNAi ベクターである pANDA との間で LR 反応を行ったところ、RA14-17 遺伝子に対する RNAi プラスミド pANDA-RACO を得た (Fig. 5)

RA14-17 遺伝子に対する RNAi を導入した形質転換体の作出

pANDA-RACO を用いてアグロバクテリウム法によりイネ（日本晴）を形質転換し、15 系統の形質転換体を得た。得られた形質転換体の緑葉から RNA を抽出し、これを用いて半定量 RT-PCR を行って、導入した RA14-17 遺伝子に対する RNAi が発現しているかどうかを調べた。その結果、これらの形質転換体での RNAi の発現を検出した。また、得られた形質転換体を栽培し、非形質転換体（日本晴）の形態と比較した。その結果、形質転換体植物は、非形質転換体植物と同様の生育過程を示し、栄養成長期での草丈、草高、草色、分げつ数などの形態には差異は観察されなかった。また、形質転換体は非形質転換体と同様の形態の穂が生じ、出穂期も非形質転換体と有意な差は認められなかった。

形質転換体の種子におけるアレルゲンタンパク質低減の検定

上記の形質転換体は、いずれの植物体からも十分量の種子が得られた。モミの形態には非形質転換体との間で顕著な差は認められなかった (Fig. 6A)。しかしながら、玄米の多くに芯白の表現型が現れた (Fig. 6B)。

得られた形質転換体 15 株のうち 10 株で、種子に含まれる RA14-17 がウエスタン分析で検出できない程度に減少したものが見つかった。形質転換体（系統 1）の場合、調べた 6 粒の種子のうちの 4 粒で RA14-17 が検出されない程度にまで減少していた (Fig. 6C)。一方、残りの 2 粒は野生型と同様のアレルゲンタンパク質の産生が認められた。この検定により、これらの 10 株を低アレルゲン系統として選択した。

ホモ接合体系統の形質転換体の選抜

導入した RNAi は優性に働くため、後代植物の中からホモ接合体を選抜する必要がある。そこで、それぞれの形質転換体の後代 (T2) を栽培して得られた種子 (T3) について、上記と同じ検定を行い、低アレルゲンの形質が遺伝しているかどうか

を調べた。この検定により、12 粒のすべてにおいて低アレルゲンタンパク質の形質を示した系統が現れた。これを上記と同様の方法で発芽させ、温室において次世代の植物を栽培した。

上記の検定により選抜された T3 植物を栽培し、これらから得られた種子 (T4) についても同様の検定を行った。この検定により、全ての種子で十分な低アレルゲンタンパク質の形質を示したものを見抜いた。これをホモ接合体系統とした。これにより最終的に 3 系統の RA14-17 低アレルゲンイネ系統が確立された。

(3) 低アレルゲン米のタンパク質発現差異解析

RA-KD 米、および NT 米の代表的な Cy 染色パターンを Fig. 7 に示した。発現量が同程度であるスポットは黄色に、RA-KD 米での発現が多いスポットは赤色に、反対に NT 米での発現が多いスポットは緑色に表されている。Decyder ソフトウェアによりスポットのマッチングを行い、再現良く得られた約 1000 スポットのうち、RA-KD/NT の蛍光比の平均値 (av. Ratio) が 2 以上あるいは 1/2 以下となるものを抽出した。その結果、NT 群に比べて 2 倍以上の発現変動がみられたスポットは 20 スポットであった (Fig. 8)。これらのスポットからタンパク質を抽出し、トリプシン消化ペプチドの MALDI-TOF MS/MS 相同性検索を行ったところ、Table 1 に示すようにタンパク質が同定された。NT よりも発現の少ないタンパク質には、14-17kDa アレルゲンタンパク質に属する Allergenic protein や RAG2 といった主要アレルゲンが同定された。NT と比較して発現が増大していたタンパク質には、Glutelin 等が含まれていた。

(4) アレルゲン予測の解析法

キーワード検索とピアレビューにより、本年度新たに追加したエピトープ情報は、17 報の論文から 33 種のアレルゲンについて、総エピトープ数 191 の情報を追加した (Table 2)。本年度のアレルゲンおよびエピトープ情報更新作業により、アレルゲンおよびイソアレルゲンのアミノ酸配列情報は 1407 となった。エピトープ既知のアレルゲ

ン数は 132 種となった。

(5) 動物モデルを用いるアスタキサンチンレタスのアレルギー性の解析

2 回目の惹起におけるアナフィラキシー症状のスコア平均は、E 群 0.4 に対して、陰性対照とした PEP 群は 0.0 と同レベルであった一方、陽性対照とした OVA 群は 2.2 と上昇した。NG 群と GM 群のスコアも E 群に対して、若干の上昇を示したが、NG 群と GM 群のスコア平均は 1.0 および 1.2 であり、両群のスコアは同程度であった。本実験では OVA 群をはじめ、いずれの群間にも統計学的な差を認めなかった (Fig. 9)。血清中の抗原特異的 IgG1 抗体を ELISA で調べたところ、NG 群の 1/5 例以外、抗原特異的 IgG1 抗体は検出されなかつた (Fig. 10)。

D. 考察

(1) アスタキサンチン発現レタスのタンパク質発現差異解析

レタスは外側の葉と内側の葉でタンパク質組成が大きく異なることから、遺伝子組換えレタスの安全性評価にはサンプリングに注意する必要があると考えられた。また、アレルゲン LTP はレタス中の含量が少なく、粗タンパク質抽出後、CM による精製が必要であると考えられた。

2D-DIGE 解析の結果より、アスタキサンチン発現レタスでは非組換えレタスに比べ、タンパク質レベルでの大きな発現変動は無いと考えられた。

(2) 低アレルゲン（主要アレルゲン RA14-17 ノックダウン）イネの作出

T1 系統のアレルゲンウェスタンプロット解析結果から、導入した遺伝子が優性に機能していること、また、これがメンデルの法則に従って遺伝していることが示唆された。T3 種子の検定により、12 粒のすべてにおいて低アレルゲンタンパク質の形質を示した系統が現れることから、これは遺伝的にホモ接合体であると推定された。

(3) 低アレルゲン米のタンパク質発現差異解析

2D-DIGE 解析により、日本晴と比較して減少が明らかとなった Allergenic protein, RAG2 はノックダウンのターゲットタンパク質であり、意図した影響であると言える。一方、Glutelin の増加は非意図的なものであり、プロテオミクスによる網羅的解析の有用性が示された。非意図的に増加した Glutelin は毒性およびアレルゲン性が知られているものではなく、安全性に影響を与えるものでは無いと考えられた。

(4) 動物モデルを用いるアスタキサンチンレタスのアレルギー性の解析

本モデルを用いて、アスタキサン遺伝子導入レタスの食物アレルギー性を非組換えレタスと比較評価した。アスタキサン遺伝子導入レタスは 1 gあたり 2.4~3.0 mg、非組換えレタスは 1 g あたり 1.1~1.4 mg の蛋白質がそれぞれ抽出された。非組換えレタスよりやや抽出される蛋白質量は多かったものの、非組換えレタスあるいはアスタキサン遺伝子導入レタスの抽出蛋白質で感作されたマウスのアナフィラキシー症状のスコアに有意な差は認められなかった。抗原特異的 IgG1 抗体値は両群ともほとんど検出されなかつたことから、アスタキサン遺伝子導入レタスの食物アレルギー性は非組換えレタスと同様に低いと考えられた。

E. 結論

(1) アスタキサンチン発現レタスのタンパク質発現差異解析

2D-DIGE 法を用いた発現差異解析の結果、アスタキサンチン発現レタス中のタンパク質はすべて、非組換え対照との発現差が 2 倍以内であった。レタスアレルゲン LTP の定量には可溶性タンパク質を抽出後、さらに CM による精製が必要であると考えられた。

(2) 低アレルゲン（主要アレルゲン RA14-17 ノックダウン）イネの作出

3 系統の 14-17 kDa 低アレルゲンイネホモ接合体系統を確立した。

(3) 低アレルゲン米のタンパク質発現差異解析

2D-DIGE 法を用いた発現差異解析の結果、ターゲットタンパク質である Allergenic protein および RAG2 の発現減少および、非ターゲットの Glutelin の発現増加が明らかとなった。

(4) 動物モデルを用いるアスタキサンチンレタスのアレルギー性の解析

新規に開発される食品の安全性確保において、食物アレルゲン性を評価することは重要課題である。マウスの食物アレルギーモデルを用いて、アスタキサン遺伝子導入レタスの食物アレルゲン性を評価したところ、アスタキサン遺伝子導入レタスの食物アレルギー性は非組換えレタスと同様に低いと考えられた。

F. 健康危険情報

なし

G. 研究発表

1. 学会発表

- 1) 中村里香、中村亮介、小関良弘、手島玲子：塩ストレス耐性遺伝子組換えイネ種子のアレルゲンおよびプロテオーム解析 第18回日本食品化学会総会・学術大会 (2012. 6)
- 2) Reiko Teshima, Rika Nakamura, Kazumi Kitta, Rie Satoh, Gang-hua Lang, Kathleen Schegg, Ken Blumenthal, Leslie Hicks, David Rouquié, Rod A. Herman, Corinne Herouet-Guicheney, Greg Ladics, Scott McClain, Lars K. Poulsen, Laura Privalle, Jason M. Ward, Nancy Doerrer and Jean-Baptiste Rasclé: "Inter-laboratory optimization of two-dimensional difference gel electrophoresis (2D-DIGE) of rice seed allergens in non-transgenic rice varieties" European Academy of Allergy and Clinical Immunology Congress 2012 (2012. 6)
- 3) 中村里香、中村亮介、小関良弘、手島玲子：ストレス耐性遺伝子を導入した遺伝子組換えイネ種子のアレルゲン性評価 第132回日本薬学会年会 (2012. 3)
- 4) 手島玲子: : コメ品種間のアレルゲン発現変動のアレルゲノーム解析 日本プロテオーム学会 (2012.7)

2. 論文発表

- 1) Shindo T, Kanazawa Y, Saito Y, Kojima K, Ohsawa M, Teshima R. Effective induction of oral anaphylaxis to ovalbumin in mice sensitized by feeding of the antigen with aid of oil emulsion and salicylate. J Toxicol Sci. , 37(2), 307-315, 2012
- 2) Nakamura R., Teshima R.: Proteomics-based allergen analysis in plants. J. Proteomics 2003 (in press)
- 3) Nakamura R., Teshima R.: Immunoproteomic analysis of food allergens. Plant Proteomics-Methods and Protocols, Second Edition (in press)
- 4) 佐藤里絵、中村里香、手島玲子：ソバに含まれる IgE 結合タンパク質の解析、FFI Journal 218(1), 36-42 (2013)

H. 知的所有権の取得状況

1. 特許所得

なし

2. 実用新案登録

なし

3. その他

なし

Table 1 RA-KD米で2倍以上の発現変動がみられたスポットのMALDI-TOF MS/MS相同意検索結果

Master No.	Av. Ratio	Appearance	T-test	Protein Hits
RA-KD > 日本晴	340	5.69	24/27	5.40E-13
	336	3.6	27/27	1.50E-10
	343	2.66	27/27	5.90E-11
	344	2.38	24/27	8.60E-08
	790	2.26	27/27	4.00E-15
	348	2.07	24/27	1.70E-08
	967	2.05	27/27	4.40E-16
	304	2.03	24/27	1.60E-09
	345	2.03	18/27	1.80E-06
	1424	2.02	27/27	8.10E-09
	416	2.01	27/27	1.40E-09
日本晴 > RA-KD	1201	-2.01	21/27	2.00E-07
	1232	-2.18	27/27	0.00013
	1205	-2.65	27/27	3.00E-09
	1186	-3.23	21/27	1.20E-06
	1202	-3.28	27/27	4.50E-12
	1193	-3.61	24/27	2.30E-09
	1190	-4.02	21/27	2.80E-10
	1184	-7.08	24/27	6.10E-12
	1185	-8.49	24/27	5.40E-12

*N.A., not assigned

Table 2 本年度新たに追加したエピトープ情報

	Name	start	end	Sequence	Method	CTYPE	Reference	GenBank acc.No
01	Pen m ? (Pen m 1)	89	105	NRRIQLEEDLERSEER	Dot-blot inhibition	Linear	PMID 21802470	AAX37288
	Pen m ? (Pen m 1)	115	128	EASQAADESERMRK	Dot-blot inhibition	Linear		
	Pen m ? (Pen m 1)	131	142	ENRSLSDEERMD	Dot-blot inhibition	Linear		
	Pen m ? (Pen m 1)	145	164	ENQLKEARFLAEADRKYDE	Dot-blot inhibition	Linear		
	Pen m ? (Pen m 1)	177	190	ERAEERAETGESKI	Dot-blot inhibition	Linear		
	Pen m ? (Pen m 1)	210	224	SEEKANQREEAYKEQ	Dot-blot inhibition	Linear		
	Pen m ? (Pen m 1)	243	259	ERSVQKLQKEVDRLEDE	Dot-blot inhibition	Linear		
	Pen m ? (Pen m 1)	263	280	EKEKYKSITDELDTQTFSE	Dot-blot inhibition	Linear		
02	Sal s 1 beta 1	1	18	MACAHLCKEADIKTALEA	Peptide microarray	Linear	PMID 21894026	Q91482
	Sal s 1 beta 1	28	45	KTFFHTIGFASKSADDVK	Peptide microarray	Linear		
	Sal s 1 beta 1	61	81	VEELKLFLQNFCPKARELTD ^a	Peptide microarray	Linear		
03	Lit v 1	37	63	EKSEEVHNILQKRMQQLENLDQVQES	Peptide microarray	Linear	PMID 22192087	GI 170791251
	Lit v 1	115	150	EASQAADESERMRKVLENRSLSDEERMALENQLKE	Peptide microarray	Linear		
	Lit v 1	142	162	DALENQLKEARFLAEADRKY	Peptide microarray	Linear		
04	Lit v 2	232	255	SMQMGQDGLGQVFRRLTSAVNEIEK	Peptide microarray	Linear	PMID 22192087	Q004B5
05	Lit v 3	13	30	RSKKSGGGNSVDMFTQR	Peptide microarray	Linear	PMID 22192087	B7SN13
	Lit v 3	22	48	NVFDMFTQRQVAEFKEGFQLMDRDKDG	Peptide microarray	Linear		
	Lit v 3	79	99	PAPINFTMLNNMFAERQTGES	Peptide microarray	Linear		
06	Asp v 13	13	36	ALLPAVGAPILEARRQTEKVPKG	SPOTs	Linear	PMID 21632114	ADE74975
	Asp v 13	55	72	TTWASNVHKNRNLERRDLTD	SPOTs	Linear		
	Asp v 13	79	90	IEKNFKIHKFAA	SPOTs	Linear		
	Asp v 13	199	216	GTIGGKTFVGSKKANLLS	SPOTs	Linear		
	Asp v 13	235	253	NWAANDWSKSRTGKSAI	SPOTs	Linear		
	Asp v 13	301	312	LTVAASTERNAR	SPOTs	Linear		
07	Cyn d 1	71	80	RACYEIKCKE ²	SPOTs	Linear	PMID 21985791	AAB50734.2
	Cyn d 1	101	110	IAAYHFDSL ²	SPOTs	Linear		
	Cyn d 1	146	155	TKITFHEKG	SPOTs	Linear		
	Cyn d 1	161	170	LLALLVKYAG ²	SPOTs	Linear		
	Cyn d 1	171	180	DGNIVAVDIK ²	SPOTs	Linear		
	Cyn d 1	191	200	KSSWGAWR ¹	SPOTs	Linear		
	Cyn d 1	226	235	DVIPANWKPD	SPOTs	Linear		
	Cyn d 1	231	240	NWKPD ¹ TYTS	SPOTs	Linear		
08	Cyn d 1.0102			CGACYRIKCK	SPOTs	Linear	PMID 21985791	
09	Cyn d 1.0103			CGACYRIKCK	SPOTs	Linear	PMID 21985791	
10	Cyn d 1.0105			CGACYRIKCK	SPOTs	Linear	PMID 21985791	
11	Cyn d 1.0106			CGACYRIKCK	SPOTs	Linear	PMID 21985791	
12	Cyn d 1.0202			GNIVSVDIKS	SPOTs	Linear	PMID 21985791	AF177378.1
13	Cyn d 1.0203			GNIVSVDIKS	SPOTs	Linear	PMID 21985791	AF177380.1
14	Pen c 13	116	134	ANVQSNVPSWGLARISSK	Dot-blot / Inhibition ELISA	Linear	PMID 22506037	AF084546
	Pen c 13	145	166	STAGEGVVFYGVDTGIDISHSD	Dot-blot / Inhibition ELISA	Linear		
	Pen c 13	155	167	GVDTGIDISHDF	Dot-blot / Inhibition ELISA	Linear		
	Pen c 13	173	200	WGTNVVDNDNTDNGHGTHTASTAGSK	Dot-blot / Inhibition ELISA	Linear		
	Pen c 13	201	205	YGVAK	Dot-blot / Inhibition ELISA	Linear		
	Pen c 13	210	232	VAVKVLGADGSGTNSGVISGMDW	Dot-blot / Inhibition ELISA	Linear		
	Pen c 13	214	235	VLGADGSGTNSGVISGMDWAVKDAK	Dot-blot / Inhibition ELISA	Linear		
	Pen c 13	237	255	AKSRGANGKYVMNNMSLGE	Dot-blot / Inhibition ELISA	Linear		
	Pen c 13	263	281	AAANVVKSGIFLSVAAGNE ¹	Dot-blot / Inhibition ELISA	Linear		
	Pen c 13	296	319	VCTIAASTSTDGSASFNTFGSVVD	Dot-blot / Inhibition ELISA	Linear		
	Pen c 13	312	339	TNFGSVVDLYAPGQSITAAYPGGGSKTL	Dot-blot / Inhibition ELISA	Linear		
	Pen c 13	358	389	ALEGVSAGNACARVQLATSSISRAPSGTTSK ^{1,2}	Dot-blot / Inhibition ELISA	Linear		
15	Der f 7	168	182	HIGGLSLDPFIGV ^{2,3}	Dot-blot inhibition	Linear	PMID 21820178	AAB35977
16	Sta c 3	91	108	VKQMWP AESRKPMGCEV ²	SPOTs / Inhibition ELISA	Linear	PMID 22424314	ACT37324.1
17	Bla g 2				Site-directed mutagenesis / X-ray crystallography	Conformational	PMID 21789239	P54958.1
18	Bla g 2				Phage display / X-ray crystallography	Conformational	PMID 22123204	P54958.1
19	Pru du 6.01	118	132	SSQQGRQQEQEQERQ	SPOTs	Linear	PMID 21720172	X78119
	Pru du 6.01	145	159	QQEQQQERQGRQQGR	SPOTs	Linear		
	Pru du 6.01	161	175	QQEEGRQQEEEQQQQQQ	SPOTs	Linear		
	Pru du 6.01	225	239	LFHVSSDHQLDQNP	SPOTs	Linear		
	Pru du 6.01	281	295	QQEQQQGSNNVFSGF	SPOTs	Linear		
	Pru du 6.01	510	524	RALPDEVLANAYQIS	SPOTs	Linear		
20	Pru du 6.02	25	39	FGONKEWQLNQLEAR	SPOTs	Linear	PMID 21720172	X78120
	Pru du 6.02	113	127	DSQPQQFQQQQQQQQ	SPOTs	Linear		
	Pru du 6.02	129	143	RPSRQEQQGQQQQF	SPOTs	Linear		
	Pru du 6.02	193	207	QNQLDQVPRRFYLAG	SPOTs	Linear		
	Pru du 6.02	217	231	QQGRQQQQQQQQQQ	SPOTs	Linear		
	Pru du 6.02	233	247	GNNIFSGFDTQLLAQ	SPOTs	Linear		
	Pru du 6.02	289	303	RGDQERQEEQQSQR	SPOTs	Linear		
	Pru du 6.02	473	487	QNAFRISRQEARNLK	SPOTs	Linear		

Table 2 つづき

21	Tri a ? (alpha gliadin)	1	10 VRVPVPLQLQP	Pepscan	Linear	PMID 21771117	P04725
	Tri a ? (alpha gliadin)	19	28 QEQQPLVQQQ	Pepscan	Linear		
	Tri a ? (alpha gliadin)	27	36 QQQFPQQQQ	Pepscan	Linear		
	Tri a ? (alpha gliadin)	55	64 YLQLQPFQP	Pepscan	Linear		
	Tri a ? (alpha gliadin)	118	127 QILQQQLCQQ	Pepscan	Linear		
	Tri a ? (alpha gliadin)	165	174 LQIPEQSQQ	Pepscan	Linear		
	Tri a ? (alpha gliadin)	192	201 QEQQKQQLQQ	Pepscan	Linear		
	Tri a ? (alpha gliadin)	224	233 SFQQPQQQYP	Pepscan	Linear		
	Tri a ? (alpha gliadin)	265	274 LALQTLPAMC	Pepscan	Linear		
	Tri a ? (alpha gliadin)	277	286 YIPPHCSTTI	Pepscan	Linear		
22	Tri a ? (omega-2 gliadin)	5	14 NPSNKELQSP	Pepscan	Linear	PMID 21771117	Q9FUW7
	Tri a ? (omega-2 gliadin)	13	22 SPQQSFSYQQ	Pepscan	Linear		
	Tri a ? (omega-2 gliadin)	43	52 SQQPFPTPQQ	Pepscan	Linear		
	Tri a ? (omega-2 gliadin)	47	56 FPTPQQQFPE	Pepscan	Linear		
	Tri a ? (omega-2 gliadin)	51	60 QQQFPEQSQCQ	Pepscan	Linear		
	Tri a ? (omega-2 gliadin)	71	80 IQPQQPFPQQ	Pepscan	Linear		
	Tri a ? (omega-2 gliadin)	99	108 PQQPFPPQTQQ	Pepscan	Linear		
	Tri a ? (omega-2 gliadin)	107	116 QQSFPLOPQQ	Pepscan	Linear		
	Tri a ? (omega-2 gliadin)	135	144 QQSEQIIPCQ	Pepscan	Linear		
	Tri a ? (omega-2 gliadin)	143	152 QQLQQPFPLQ	Pepscan	Linear		
	Tri a ? (omega-2 gliadin)	151	160 LQPQQPFPPQQ	Pepscan	Linear		
	Tri a ? (omega-2 gliadin)	161	170 PQQPFPPQPQQ	Pepscan	Linear		
	Tri a ? (omega-2 gliadin)	169	178 CQQIPVQGPQQ	Pepscan	Linear		
	Tri a ? (omega-2 gliadin)	199	208 PELQQPPIPQQ	Pepscan	Linear		
	Tri a ? (omega-2 gliadin)	207	216 QQPQQPFPLQ	Pepscan	Linear		
	Tri a ? (omega-2 gliadin)	215	224 LQPQQPFPPQQ	Pepscan	Linear		
23	Tri a 19 (omega-5 gliadin)	18	27 FPQQQQFQPQ	Pepscan	Linear	PMID 21771117	EST contigs
	Tri a 19 (omega-5 gliadin)	26	35 QPQQFPPQQQI	Pepscan	Linear		
	Tri a 19 (omega-5 gliadin)	30	39 FPQQQIPQQH	Pepscan	Linear		
	Tri a 19 (omega-5 gliadin)	42	51 PQQPQQFPQQ	Pepscan	Linear		
	Tri a 19 (omega-5 gliadin)	46	55 QQFPQQQQFL	Pepscan	Linear		
	Tri a 19 (omega-5 gliadin)	56	64 QQQQIPQQQI	Pepscan	Linear		
	Tri a 19 (omega-5 gliadin)	75	84 QPQLLPQQQF	Pepscan	Linear		
	Tri a 19 (omega-5 gliadin)	100	109 PQQQFPQQQF	Pepscan	Linear		
	Tri a 19 (omega-5 gliadin)	120	129 PQQQFPQQQ	Pepscan	Linear		
	Tri a 19 (omega-5 gliadin)	148	157 QQFPQQQQFP	Pepscan	Linear		
	Tri a 19 (omega-5 gliadin)	152	161 QQQQFPQQQ	Pepscan	Linear		
	Tri a 19 (omega-5 gliadin)	156	165 FPQQQSPQQQ	Pepscan	Linear		
	Tri a 19 (omega-5 gliadin)	166	175 QFPQQQFPQQ	Pepscan	Linear		
	Tri a 19 (omega-5 gliadin)	170	179 QQFPQQQQLP	Pepscan	Linear		
	Tri a 19 (omega-5 gliadin)	174	183 QQQQLPQQQF	Pepscan	Linear		
	Tri a 19 (omega-5 gliadin)	184	193 PQPQQIPQQQ	Pepscan	Linear		
	Tri a 19 (omega-5 gliadin)	186	195 PQQIPQQQI	Pepscan	Linear		
	Tri a 19 (omega-5 gliadin)	198	207 QPQQFPQQQF	Pepscan	Linear		
	Tri a 19 (omega-5 gliadin)	208	217 PQQQFPQQQ	Pepscan	Linear		
	Tri a 19 (omega-5 gliadin)	230	239 HQQQLPQQQF	Pepscan	Linear		
	Tri a 19 (omega-5 gliadin)	268	277 RPQQQSPQQQ	Pepscan	Linear		
	Tri a 19 (omega-5 gliadin)	274	283 EQQQFPQQQF	Pepscan	Linear		
	Tri a 19 (omega-5 gliadin)	310	319 PYQQYPQQQF	Pepscan	Linear		
24	Tri a ? (LMW-glutenin subunit)	37	46 HQQQPIQQQF	Pepscan	Linear	PMID 21771117	Q9ZNY0
	Tri a ? (LMW-glutenin subunit)	39	48 QQPIQQQFQQ	Pepscan	Linear		
	Tri a ? (LMW-glutenin subunit)	47	56 QQFPQQQPC	Pepscan	Linear		
	Tri a ? (LMW-glutenin subunit)	211	220 PVVHPSILQQ	Pepscan	Linear		
	Tri a ? (LMW-glutenin subunit)	231	240 QCSPVAMPQS	Pepscan	Linear		
	Tri a ? (LMW-glutenin subunit)	263	272 LPQIPQQRSY	Pepscan	Linear		
	Tri a ? (LMW-glutenin subunit)	269	278 QSRYEARAI	Pepscan	Linear		
25	Tri a 14 (LTP1)	24	33 GQCCDGVKNL	Pepscan	Linear	PMID 21771117	P24296
	Tri a 14 (LTP1)	37	46 QARSQSDRQS	Pepscan	Linear		
	Tri a 14 (LTP1)	81	90 ISLNIDCSRV	Pepscan	Linear		
26	Ric c 1	167	181 QEQQNLRQCQEYIKQ	Dot-blot	Linear	PMID 18262682	P01089
	Ric c 1	215	229 EGLRQAIEQQQSQGQ	Dot-blot	Linear		
27	Ric c 3	36	50 ESKGEREGSSQQCR	Dot-blot	Linear	PMID 18262682	P01089
	Ric c 3	51	70 QEVQRKDLSSECRYLRQSS	Dot-blot	Linear		
	Ric c 3	106	125 DECQCEAIKYAEDQIQQQ	Dot-blot	Linear		
	Ric c 3	126	140 LHGEESERVAQRAGE	Dot-blot	Linear		
28	Ric c 1	167	180 QEQQNLRQCQEYIK ⁴	Dot-blot	Linear	PMID 21738671	P01089
	Ric c 1	215	229 EGLRQAIEQQQSQGQ ⁴	Dot-blot	Linear		
29	Ric c 3	36	50 ESKGEREGSSQQCR ⁴	Dot-blot	Linear	PMID 21738671	P01089
	Ric c 3	51	65 QEVQRKDLSSECRYL ⁴	Dot-blot	Linear		
	Ric c 3	106	120 DECQCEAIKYAEDQ ⁴	Dot-blot	Linear		
	Ric c 3	126	140 LHGEESERVAQRAGE ⁴	Dot-blot	Linear		

Table 2 つづき

30	Car i 4 (4.0101)	28	39 GRQQHKFGQCQL	Dot-blot	Linear	PMID 21718052	EU113051
	Car i 4	88	99 PHYSNAPQLVYI	Dot-blot	Linear		
	Car i 4	118	129 EESQRQSQQQGQR ⁵	Dot-blot	Linear		
	Car i 4	121	132 QRQSQQGQRREF ⁵	Dot-blot	Linear		
	Car i 4	124	135 SQQQQRREFQQD	Dot-blot	Linear		
	Car i 4	127	138 GQRREFQQDRHQ	Dot-blot	Linear		
	Car i 4	130	141 REFFQQDRHQKIR	Dot-blot	Linear		
	Car i 4	133	144 QQDRHQKIRHFR	Dot-blot	Linear		
	Car i 4	202	213 QGGCEYEQHRRHQ	Dot-blot	Linear		
	Car i 4	205	216 QEYEQHRRQQQH	Dot-blot	Linear		
	Car i 4	208	219 EQHRRQQHQQR ⁵	Dot-blot	Linear		
	Car i 4	232	243 NNVFSGFDAEFL	Dot-blot	Linear		
	Car i 4	235	246 FSGFDAEFLADA	Dot-blot	Linear		
	Car i 4	238	249 FDAEFLADAFNV ⁵	Dot-blot	Linear		
	Car i 4	304	315 ERRQSRRGGRDD	Dot-blot	Linear		
	Car i 4	382	393 LNAHSVVYALRG	Dot-blot	Linear		
	Car i 4	385	396 HSVVVYALGRAGE	Dot-blot	Linear		
	Car i 4	421	432 PQNFAVKRARD	Dot-blot	Linear		
	Car i 4	424	435 FAVVKRARDEGF	Dot-blot	Linear		
31	Car i 4	28	39 GRQQHKFGQCQL	Dot-blot	Linear	PMID 21718052	EU113052
	Car i 4	88	99 PHYSNAPQLVYI	Dot-blot	Linear		
	Car i 4	118	129 EESQRQSQQQGQR ⁵	Dot-blot	Linear		
	Car i 4	121	132 QRQSQQGQRREF ⁵	Dot-blot	Linear		
	Car i 4	124	135 SQQQQRREFQQD	Dot-blot	Linear		
	Car i 4	127	138 GQRREFQQDRHQ	Dot-blot	Linear		
	Car i 4	130	141 REFFQQDRHQKIR	Dot-blot	Linear		
	Car i 4	133	144 QQDRHQKIRHFR	Dot-blot	Linear		
	Car i 4	202	213 QGGCEYEQHRRHQ	Dot-blot	Linear		
	Car i 4	205	216 QEYEQHRRQQQH	Dot-blot	Linear		
	Car i 4	208	219 EQHRRQQHQQR ⁵	Dot-blot	Linear		
	Car i 4	232	243 NNVFSGFDAEFL	Dot-blot	Linear		
	Car i 4	235	246 FSGFDAEFLADA	Dot-blot	Linear		
	Car i 4	238	249 FDAEFLADAFNV ⁵	Dot-blot	Linear		
	Car i 4	304	315 ERRQSRRGGRDD	Dot-blot	Linear		
	Car i 4	382	393 LNAHSVVYALRG	Dot-blot	Linear		
	Car i 4	385	396 HSVVVYALGRAGE	Dot-blot	Linear		
32	Cur I ? (alcohol dehydrogenase)	1	9 MSNIPQEYW	ELISA	Linear	PMID 21647452	ABC88428
	Cur I ? (alcohol dehydrogenase)	14	34 EKTGGPVKEYKIPVQKPGPDE	ELISA	Linear		
	Cur I ? (alcohol dehydrogenase)	51	68 AVNGDWPLPTKLPLVGGH	ELISA	Linear		
	Cur I ? (alcohol dehydrogenase)	164	184 LKESGVKPGQFAAVGAGGGL	ELISA	Linear		
33	Der p 1	141	155 TESAYLAYRNQSLDL	SPOTs	Linear	PMID 21764690	P08176
	Der p 1	183	197 HNGVVGESYYRYVAR ⁶	SPOTs	Linear		
	Der p 1	190	204 SYRRYVAREQSCRRP	SPOTs	Linear		
	Der p 1	204	218 PNAQRFGISNYCQIY ⁶	SPOTs	Linear		
	Der p 1	211	225 ISNYCQIYPPVNWKI	SPOTs	Linear		
	Der p 1	218	232 YPPVNWKIREALAAQT	SPOTs	Linear		
	Der p 1	246	260 DAFRHYDGRTIQRD	SPOTs	Linear		
	Der p 1	267	281 YHAVNVGYNSAQGV	SPOTs	Linear		
	Der p 1	274	288 GYSNAQGVDVWIVRN	SPOTs	Linear		
	Der p 1	281	295 VDYWIVRNSWDTNWG	SPOTs	Linear		
	Der p 1	288	302 NSWDTNWGDNGYGYF ⁶	SPOTs	Linear		
	Der p 1	295	309 GDONGYGYFAANIDLML	SPOTs	Linear		

¹ Major epitope

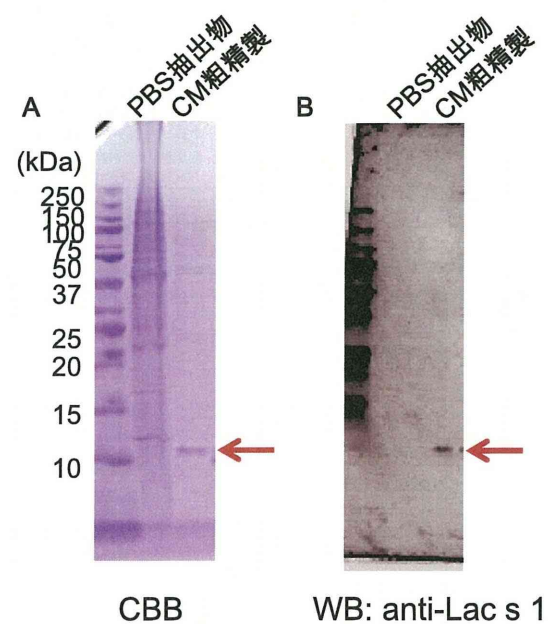
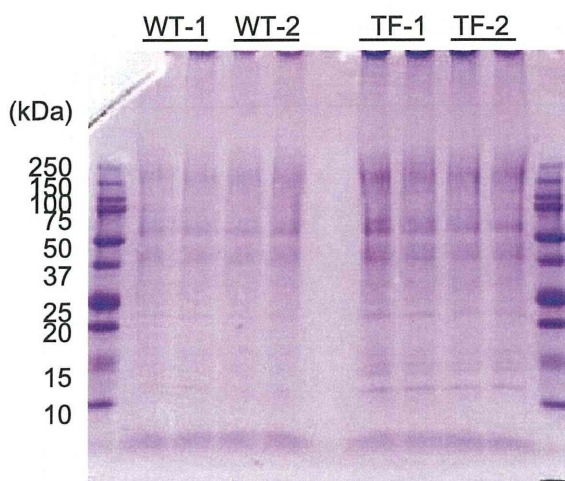
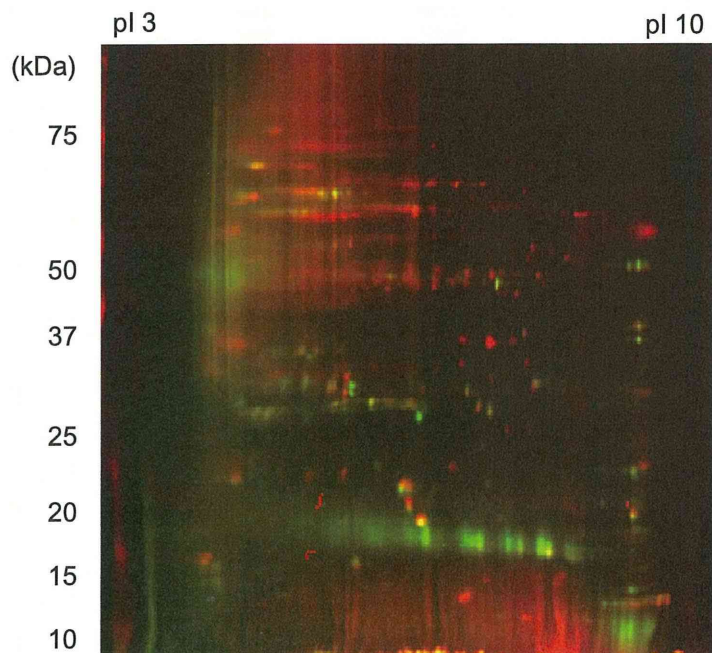
² Amino acids shown in red are essential for IgE binding

³ Asp176 is critical for IgE binding

⁴ IgE binding was blocked with an addition of glutamic acid

⁵ Strongly reacted

⁶ Strong IgE-binding epitope



RA14.gnu	1	A T G G C T T C C A A C A A G G T A G T G T T C T C G G C G T T G C T C C T C A T C A T C G T C T C C G T G C T C G C C	60
RA5.gnu	1	A T G G C T T C C A A C A A G G T A G T G T T C T C A G T G T T G C T T C T C G C G G T C G T C T C C G T G C T C G C G	60
RA16.gnu	1	A T G G C T T C C A A C A A G G T A G T G A T C C C G G C G T T G C T C G T C G T C T C C G T G C T C G C A	60
RA17.gnu	1	A T G G C T T C C A A C A A G G T A G T G T T C T C G G T A T T G C T C C T C G T C G T C T C T C C G T G C T C G C G	60
AK107215.gnu	1	A T G G C T T C A T C A A G G T A G T G T T C T C G G T G T T G C T C C C G G T A G T T G C T C C A T G C T C G T G	60
RA14.gnu	61	G C G A C C G A - - - C G C G C A T G G C G G A - - - C C A C C A A A A G A C C A G G T G G G T G T A C A G C C T E G G C	114
RA5.gnu	61	G C G A C C G G - - - C G A C C C A T G G C G G A G T A C C A C C A C C A A G G C C A G G T G G G T C T A C A C C C G G G C	116
RA16.gnu	61	G C A A C G G A - - - C G A C A A T G G C G G A - - - C C A C C A C C A A G G A A C A G G T G G G T C T A C A C T C C C G G C	114
RA17.gnu	61	G C G G G C A T G G C G A C C A T G G C G G A - - - C C A C C A C C A A G G T C - - - T A C A G C C C C G G G T	108
AK107215.gnu	61	G C A A C G G A - - - C G A C A A T G G C G G A - - - T C A C C G T G G C C A G G T G G G T T A T A C C C C C G G G G	111
RA14.gnu	115	G A G G C T T G T C A G C C A G G A A T G G G C T A C C C G A T G T A C T C G C T G C C A C C C T G C C G G G G G T G	174
RA5.gnu	117	C C G T T - - - G T C A G C C A G G A A T G G G C T A C C C G A T G T A C T C G C T C C C G C C T T G C C G G G G G T T G	174
RA16.gnu	115	C A G C T A T G T C A G C C A G G A A T G G G C T A C C C G A C T C C C G C G C T G C C G C C A T G C C G G G G G T T C	174
RA17.gnu	109	G A G G C A A T G T C G G C C A G G A A T A A G G T A T C C G A C A T A C T C A C T C C C G C G A T G T C G A A C A T T G	168
AK107215.gnu	112	C A G C T A T G C G C T G C C G A C G G G C T A C C C G A T G T A C C C G C G C T G C C C C C T G C C G G G G C T G	171
RA14.gnu	175	G T G A A G G G C C A G T G C G T G G G G A C C C G C A G C C C G G G C C G T G G A C G G A C C A C T C G C G C A G	234
RA5.gnu	175	G T G A A G G G C C A G T G C G T G G G G - - - C A G D G C C G C C G C C G G A C G G T G C C G G G G A	225
RA16.gnu	175	G T G A A G G G C C A G T G C G T G C G C - - - C C C C G G C A C G T T G G A C G G A C G G T G C C G G G A	225
RA17.gnu	169	G T G A G G C C C A A T G C G T T G G G - - - C C G T G G G G C D A G C G C C G C G G A C G G A G C A A G T C T G G G A A	225
AK107215.gnu	172	G C G A A G G G C C C A G T G C G C C G G G - - - C G G T G C C G T G - - - G A C G G A G C A A G T C C G G G A A	219
RA14.gnu	235	G A C T G C T G C C G C G A G C T C G C C G G G G T C C G A C G A C A G C T T G G T G C A G G T G C T C G G G C T C A A C	294
RA5.gnu	226	G A C T G C T G C C G G C A G C T C G C C C C C G G T C C G A C G A C A G C T G G T G C A G G T G C G A G G G C A T C A G C	285
RA16.gnu	226	G G C T G C T G C C G G C A G C T C G C G G G C A G C T C G C A C G A C G A C G T G G T G C A G G T G C G A T G C C G G G G A	285
RA17.gnu	226	G A C T G C T G C C G G C A G C T C G C C C C C G G G C A G C T C G C A C G A C G G C G G G G C G C T G A T	285
AK107215.gnu	220	G A C T G C T G C C G G C A G C T C G C C C C C A T C C G A C G A C A G C T T C T G T A C G C T G C C C C C G C G T G A G C	279
RA14.gnu	295	C A C A T G G T T G G A G G C A T C T A C A G G G A G G T C G G G G C C A C C G A T G T T G G G C A C C C C A T T G G C C	354
RA5.gnu	286	C A C A T G G T T G G A G G C A T C T A C A G G G A G G T C G G G G C C C C G A T G T C G G G C A C C C C A T T G T C C	345
RA16.gnu	286	C A C A T G G T T G G A G G A T C A T C T A C A G G G A G G G A G G C G G G C C G G A C G C G T G G G C A C C C C A T T G G C C	345
RA17.gnu	286	C A C A T G G T T G G T C A G G C A T C T A C A G G G A G G T C G G G G C C A C C G A G G C C G G G C A C C C C A T T G G C C	345
AK107215.gnu	280	C A C A T G G T T G G T T G G A A T G T A C A A A G G A G G T C G G G C A C C C G C T A A A G G G C A A C C C A T T G G A C	339
RA14.gnu	355	G A G G T G T T C C C G G G C T G C C G G A G A G G G G A C T T G G A G G C G G G G G G G G G A G C C T C C C G G C G	414
RA5.gnu	346	G A G G T G T T C C C G G G C T G C C G G A G A G G G G A C T T G G A G G C G G G G G G G G G G A G C C T C C C G G C G	405
RA16.gnu	346	G A G G T G T T C C C G G G C T G C C G G A G A G G G G A C T T G G A G G C G G G G G G G G G A G C C T C C C G G C G	405
RA17.gnu	346	G A G G T G T T C C C G G G C T G C C G G A G A G G G G A C T T G G A G G C G G G G G G G G G A G C C T C C C G G C G	405
AK107215.gnu	340	G A G G T G T T C C C G G G C T G C C G G A G A G G C C A C A T G A A A A G G C G T G G G G G G G G G A G C C T C C C G G C G	399
RA14.gnu	415	T T C T G C A A C G T G G A C A T C C C C A T T G G G A C A G G T G G T G T C T G C T A C T G G G C T A G G T T A T C C T	474
RA5.gnu	406	T T C T G C A A C G T G G A C A T C C C C A C C G G G C G G A G G T G G T G T C T G C T A C T G G G C T G G C G A G A T C T	465
RA16.gnu	406	T T C T G C A A C G T G G A C A T C C C C A T T G G G C G G A G G T G G T G T C T G C T A C T G G G C T A C C G G G A A C T	465
RA17.gnu	406	T T C T G C A A C G T G G A C A T C C C C A T T G G G C G G A G G T G G T G T C T G C T A C T G G G C T T G G G T A T C C T	465
AK107215.gnu	400	T T T T G C C A A T G T A G A C A T T C C C A T T G G G C A T T G G T G G T T T G C T A C T G G G C T A G G T T A T C C T	459
RA14.gnu	475	A G G A C C C C G A G A A C T G G T C A C T A G	498
RA5.gnu	466	G G C T A C T A G	474
RA16.gnu	466	G G C T A C T A G	474
RA17.gnu	466	A G G A C C C C A A G A A C C C G G T C A C T A G G C T A C T A T A G	499
AK107215.gnu	460	A T G A A C C C C C G C G A C T G G C C A C T A A	483

RNAiに
用いた
配列

Fig. 4 14-16 kDaアレルゲンタンパク質遺伝子の塩基配列

赤線で囲んだ5つの遺伝子配列に共通する配列をRNAiに用いた。

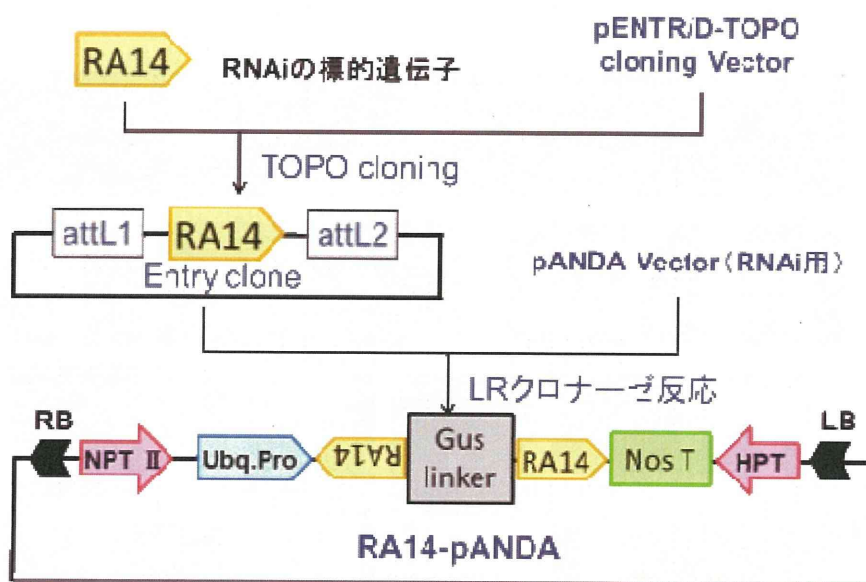


Fig. 5 RA14-17アレルゲンタンパク質に対するRNAi遺伝子

PCRで増幅した標的領域をEntry vectorに導入した。これをpANDA vectorに導入して、14 kDaアレルゲンタンパク質遺伝子に対するRNAi遺伝子“RA14-pANDA”を構築した。

RA 14: Rice allergen 14 kDa

attL 1 & attL 2: LR clonase recombination sites

Ubq. pro: Ubiquitin promoter

Gus linker: Fus gene (AJ298139)の875-1823 bpの領域断片

Nos T: Nos terminator,

HPT: Hygromycin resistance gene

NPT II: Neomycin resistance gene

RB: Right border, LB: Left border



Fig.6 14-17アレルゲンタンパク質に対するRNAi系統

RA14-pANDA: 14-17 kDaアレルゲンタンパク質を減少させた形質転換体

A. 形質転換体の植物体の形態

B. 形質転換体の種子の形態

C. RA-pANDAとWTの電気泳動像と抗RA14 kDa抗体を用いたWestern blot

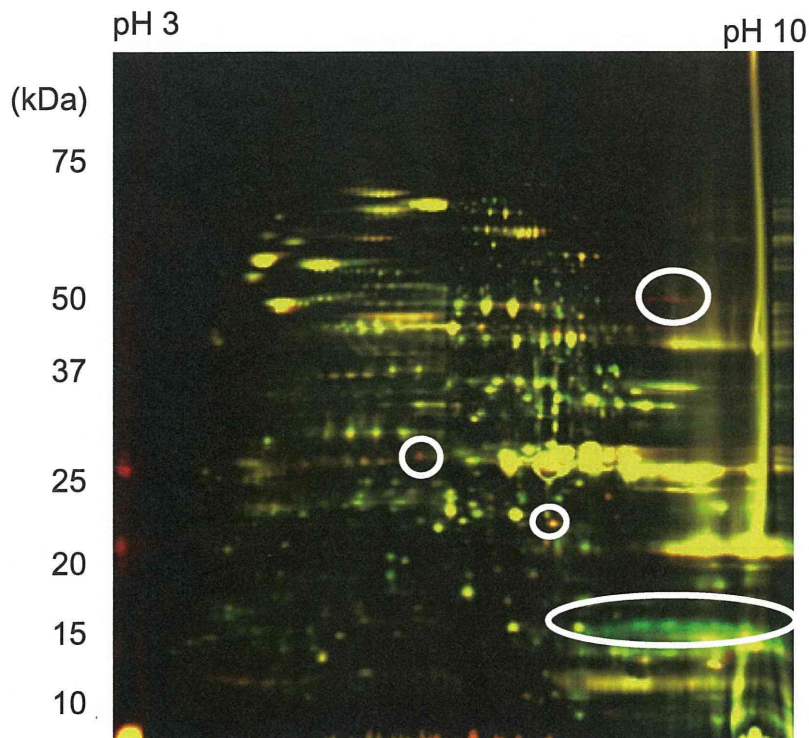


Fig. 7 日本晴とRA-KD米のタンパク質2次元パターン

10-20% acrylamide gel (D.R.C)
25 µg protein/ sample
Green: 日本晴 Red: RA-KD米

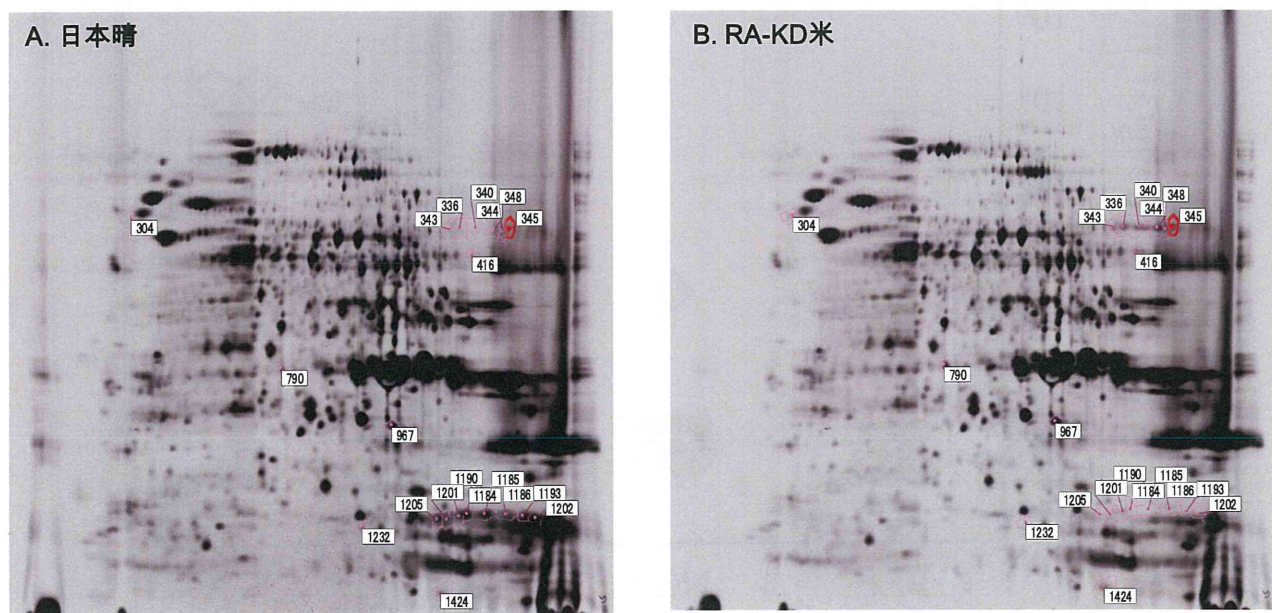


Fig. 8 RA-KD米の2D-DIGE解析結果

赤丸で示したスポットは、日本晴と比較して2倍以上の発現差異がみられたスポットを示す。スポットの番号はTable 1と対応している。

A. 日本晴, B. RA-KD米

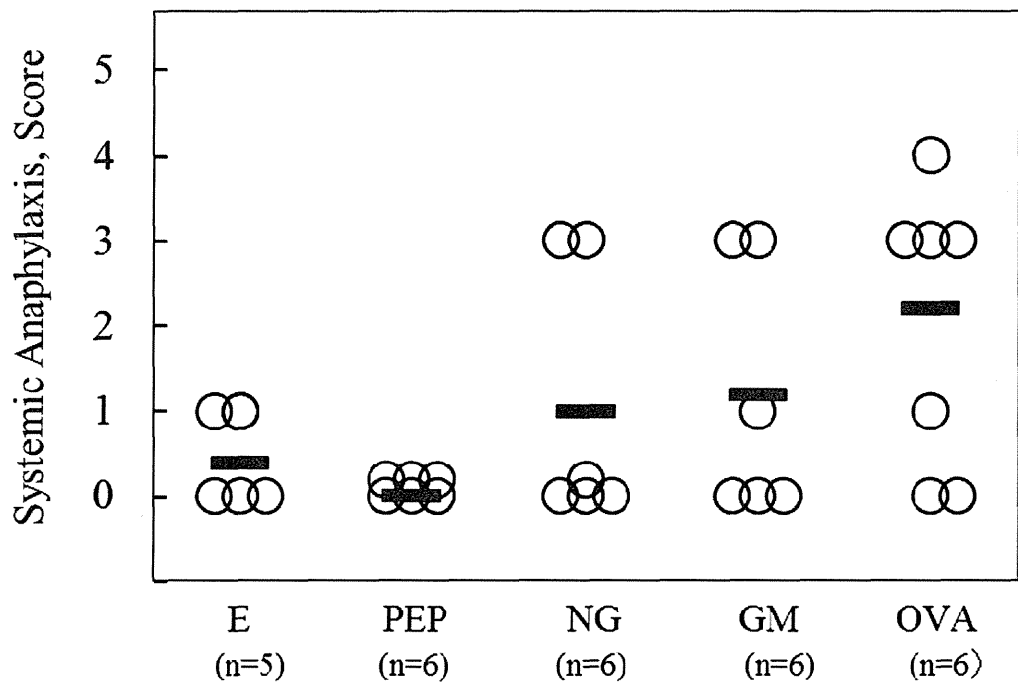


Fig.9 Antigen-induced systemic anaphylactic scores at the 2nd challenge

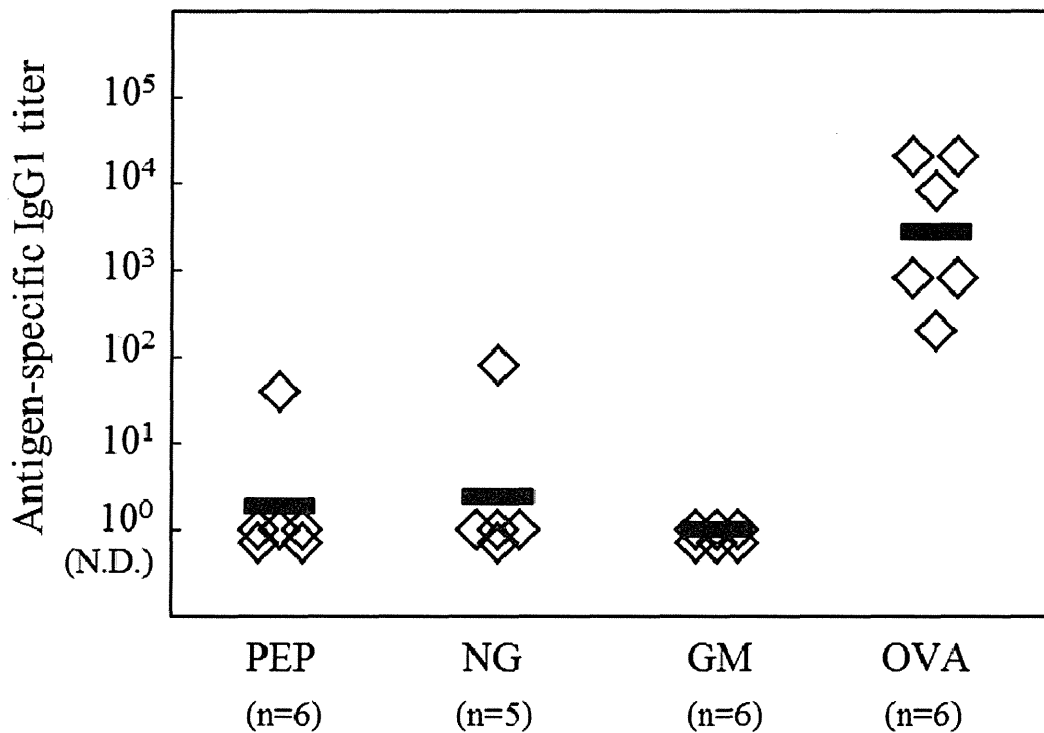


Fig.10 A comparison of the serum level of Antigen-specific IgG1 Antibody

厚生労働科学研究費補助金(食品の安全確保推進研究事業)
「新開発バイオテクノロジー応用食品の安全性確保並びに国民受容に関する研究」
分担研究報告書(平成24年度)

組換え生物の検知技術の開発

研究分担者 近藤 一成 国立医薬品食品衛生研究所 代謝生化学部 室長

研究要旨 :

1. ヒヨコマメ内在性遺伝子検知法の開発 近年、インドやバングラディッシュで害虫抵抗性を獲得させた商業栽培用の遺伝子組換え(GM)ヒヨコマメが開発されている。我が国では、GMヒヨコマメは安全性未承認であるため、今後、GMヒヨコマメの食品への混入に関し監視が必要となる。そこで、ヒヨコマメの陽性対照試験としてヒヨコマメに特異的な内在性遺伝子の検知法が必要であるため、本研究では、ヒヨコマメに特異的で染色体上に1コピーのみ存在する遺伝子のクローニングを試みた。**2. コメ陽性対照用プライマー及びプローブの比較検討** 定性リアルタイムPCRを用いたGMコメの食品への混入に関する検査は、様々な原材料から構成された加工度の高いコメ加工食品を対象としている。そのため、検査系が正しく機能していることを評価するための陽性対照コントロールには、高い検出感度が得られかつ特異性に優れたコメの内在性遺伝子配列を見出す必要がある。そこで、本研究では、4種のコメ内在性遺伝子配列を標的に構築した定性リアルタイムPCR用プライマー・プローブセットを用い、コメ内在性遺伝子の検出感度、特異性及び増幅効率について比較検討した。**3. リアルタイムPCRを用いたGM作物スクリーニング検査法の開発** 現在、作物の形質転換時に導入されたベクターの構造配列またはゲノムとの境界領域配列を検出する規定のPCR法を用いてGM作物の食品への混入に関する検査が実施されている。しかし、世界では様々なGM作物の開発が進められており、未承認GM作物の食品への意図しない混入を網羅的に検出可能な方法が必要とされている。未知のGM作物の混入を効率的に検知するためには、試験対象とするGM作物を特定せず一度に幅広く検知するスクリーニング技術が必要となる。本研究では、食品に混入したGM作物のスクリーニング法の開発を行った。**4. バスマティ米へのGMコメ混入に関する実態調査** 欧州食品・飼料緊急警告システム(RASFF)は、2012年にパキスタンやインドから欧州連合(EU)へ輸出されたバスマティ米にカリフラワーモザイクウィルス35Sプロモーター(P35S)及びノパリンシンターゼターミネーター(tNos)を有する形質転換用ベクターの構造配列が導入された害虫抵抗性GMコメの混入を確認し報告した。そこで、リアルタイムPCRを使用し我が国に輸入されたパキスタン及びインド産バスマティ米のGMコメ混入スクリーニング検査を行った。

協力研究者

中村 公亮 国立医薬品食品衛生研究所
代謝生化学部

A. 研究目的

現在、第3世代を含めた遺伝子組換え(GM)食品の多様化が進んでおり、導入される遺伝子、それを制御するプロモーターやターミネーターもさまざまである。食品の安全性確保のために、多様なGM作物の食品への混入防止のための検査法開発が不可欠である。そこで本研究では、第3世代を含めたGM食品の流通阻止を監視するシステムの確立と、それらの検知技術の高度化及び新規検知技術の導入を検討した。

B. 研究方法

1. ヒヨコマメ内在性遺伝子検知法の開発

1. 試料

非GMヒヨコマメは独立行政法人 農業生物資源研究所から購入した品種T-87-2(配布番号:JP97097、インド産、種皮:黄白)を用いた。遺伝子配列の特異性試験には、マメ科植物5種(ササゲ、スタイル、エンドウ、インゲン、ラッカセイ)、その他作物18種(ダイズ、トウモロコシ、イネ、オオムギ、カラスムギ、コムギ、ナタネ、コマツナ、テンサイ、アマ、ジャガイモ、トマト、ナス、ピーマン、ワタ、パパイヤ、ピーチ、パッションフルーツ)のゲノムDNAを供した。

2. PCR用プライマー対

ヒヨコマメ由来9-cis-epoxycarotenoid dioxygenase (CaNCED)の遺伝子配列の解析には以下のプライマー対を使用した。

・CaNCED中心部分配列

DP1,5'A: (sense)

5'-GCCGGTCACCACTTCTCGACG-3'

DP2,5': (anti-sense)

5'-CACTCTCAAACACTCGTCGCATTC-3'

・CaNCED 5'側部分配列

CP-F1: (sense)

5'-CTTCAAACACATGGATCAACACCA-3'

CP-F2: (sense)

5'-ACAACAACAAACCTTAATCCCCAC-3'

CP-R1: (antisense)

5'-AGCGGCAAGAGTAACTAACGG-3'

・CaNCED 3'側部分配列

CP-F3: (sense)

5'-CTTGTATGACACCTGCAGATTCC-3'

CP-R2: (antisense)

5'-GAAAGTTCCATGGAACCCATAAGG-3'

CP-R3: (antisense)

5'-ACTGTGCTGAAACATAAGTTAC-3'

・CaNCED ORF配列

CaND-F: (sense)

5'-CTCCACTCCCCTCAACTTCC-3'

CaND-R: (antisense)

5'-GACATATCTGCAACCATCCCTC-3'

3. PCR

PCR反応液は、25 μL /wellとして調製した。その組成は以下のとおりである。2×PCR buffer 12.5 μL, KOD FX (1.0 U/μL) 0.5 μL, dNTPs (2 mM) 5 μL, 対象プライマー対溶液 (各プライマー, 50 μmol/L) 各0.25 μLを混合し, DNA試料液 (10 ng/μL) 5 μL を添加し滅菌蒸留水で全量 25 μLに調製した。反応条件は, 95°Cで5分間加温し, その後, 95°C 30秒, 55°C 30秒, 72°C 1分を1サイクルとして, 40サイクルの增幅反応を行った。その後, 72°C 5分保温した。

4.ゲノムウォーキング解析

Straight Walk® Kit (BEX CO., LTD) を用いて CaNCEDのゲノムウォーキング解析を行った。まず, CaNCEDの既知塩基配列に認識配列を含まない制限酵素 *Spe I* と *Xba I* を使用し, ヒヨコマメの

ゲノムDNAを分解した。*Spe I* 处理の場合, DNA 300 ng, 10×NE buffer 1 μL, 100×BSA 0.1 μL, *Spe I* (New England Biolabs) 1 μLを混合し, MilliQ水で10 μLに調整した。*Xba I* 处理の場合, 10×M buffer 1 μL, 0.1% (w/v) BSA 1 μL, *Xba I* (Takara) 1 μLを混合し, MilliQ水で10 μLに調整した。それらを37°C, 1時間保温した。制限酵素処理後, 反応液10 μLに, Klenow enzyme (5U) 1 μL, dCTP (1 mM) 1 μLを加え, 25°C, 15分反応後, 次いで75°C, 20分処理し, 一塩基伸長反応を行った。次に, 反応液12 μLに対し, アダプターRWA-2プライマー(10 μM) 2 μL, Ligation high(TOYOBO) 1 μLを加え, 16°C, 16時間アダプター結合反応を行った。次いで, CaNCED未知領域を増幅するため, nested PCR 反応を行った。PCR反応液は50 μL /wellに調製した。その組成は以下の通りである。1回目のPCR 反応液は, 2×PCR buffer 25 μL, KOD FX (1.0 U/μL) 0.5 μL, dNTPs(2 mM) 5 μL, 既知配列用外側プライマー (SW2又はSW3, 50 μmol/L) 0.2 μL, アダプター配列用プライマー

(WP-1:5'-CGCAGGCTGGCAGTCTCTTAG-3') 溶液 (50 μmol/L) 1 μLを混合し, 銀型DNA溶液 (10 ng/μL) 1 μLを添加し滅菌蒸留水で全量 50 μLに調製した。2回目のPCR反応液は, 2×PCR buffer 25 μL, KOD FX (1.0 U/μL) 0.5 μL, dNTPs(2 mM) 5 μL , 既知配列用内側プライマー (SW1またはSW2, 50 μmol/L) 0.2 μL, アダプター配列用プライマー

(WP-2:5'-ATGCGGCCGCTCTCTTAGGGTTAC ACGATTGCTT-3') 溶液 (50 μmol/L) 1 μLを混合し, 1回目の反応液を10倍希釈した銀型DNA溶液 (10 ng/μL) 1 μLを添加し滅菌蒸留水で全量 50 μLに調製した。反応条件は, 94°Cで2分間加温し, その後, 94°C 30秒, 65°C 30秒, 68°C 5分を1サイクルとして, 30サイクルの増幅反応を行った。

CaNCED既知配列用プライマーは, 以下の配列のものを使用した。

SW1 : 5'-GGAGTGTGTTGGAGTGAGCATG-3'
SW2 :

5'-TGGGTTTGTTCGGAAGGTGGTGG-3'

SW3 : 5'-TGTTTCCACGAAGTCTAGGGCGG-3'

5.シークエンス解析

PCR産物は1%(w/v)アガロースゲル (エチジウムプロミド0.1 μg/mL含有) で電気泳動後, UV照射下で検出した。目的のDNA増幅断片はゲルから切り出し, 精製後, 個別ファスマックにダイレクト

シークエンス解析を依頼した。得られたシークエンスデータは、GENETYX Ver. 10.0.3を用いて解析を行った。

6. サザンプロット法による遺伝子コピー数の解析

ヒヨコマメからの DNA 精製は、Nucleon PhytoPure (GE Healthcare Life Sciences) を使用した。購入した種子は発芽後、約 1 か月生育させ、幼苗の茎葉を 0.5 g 採取し、液体窒素で凍結させ、乳鉢で粉碎した。粉碎した試料は 15 mL 遠心チューブに入れ、ReagentI 2.4 mL, RNaseA 4 μ L と混合した後、37°C, 30 分間保温した。ReagentII 0.8 mL を加え転倒混和した後、65°C, 10 分間処理し、氷上で 20 分間静置した。次に、冷クロロホルム 2 mL, PhytoPure resin 200 μ L を加え、室温で 10 分間振盪後、2000×g, 10 min 遠心した。得られた上清は新しい 15 mL チューブに移し、等量の冷イソプロパノールを加えて転倒混和し、4000×g, 5 分間遠心した。上清は取り除き、得られた沈殿に冷 70% (v/v)エタノール 10 mL を加え 4000×g, 5 分間遠心した。上清は取り除き、沈殿を乾燥させた後、水 300 μ L に溶解した。次いで、2000×g, 5 分間遠心し、得られた上清は 1/10 量の 3 M 酢酸ナトリウム溶液と 2.5 倍量の冷 100% (v/v)エタノールを加え、-80°C で 10 分間冷やした後、15,000 rpm, 4°C, 15 分間遠心した。再び水 300 μ L に溶解し、これを DNA として試験に使用した。得られた DNA は以下の通り *Xba*I で消化した。DNA 10 ng に対し、10×NEB buffer4 20 μ L, 100×BSA 2 μ L, *Xba*I (100U/ μ L) 1 μ L, 全量 200 μ L となるよう水を加えた。37°C で一晩処理後、10 U を加え、37°C, 1 時間追加処理し完全消化させた。これらの DNA 溶液は、水 200 μ L を加え、全量を 400 μ L とした後、等量のフェノール/キノリノール溶液を加え、転倒混和し、15,000 rpm, 4°C, 15 分間遠心した。得られた上清は新しいチューブに移し、1/10 量の 3 M 酢酸ナトリウム溶液と 2.5 倍量の 100% エタノールを加え、-80°C で 10 分間冷やした後、5,000 rpm, 4°C, 15 分間遠心した。上清を捨て、得られた沈殿に冷 70% (v/v)エタノール 1 mL を加え、15,000 rpm, 4°C, 5 分間遠心した。上清を取り除き、沈殿を乾燥後、水 10 μ L に溶解し、ゲル電気泳動のサンプルとした。

CaNCED 遺伝子の開始コドン付近 790 bp をサザンプロット検出用プローブとした。検出用プローブ

の作成は以下の通り行った。ターゲットを増幅させるプライマーセットは、

CaND-F: (sense)

5'-CTCCACTCCCCCTCAACTTCC-3'

CP-R1: (antisense)

5'-AGCGGCAAGAGTAACAAACGG-3'

を使用した。PCR 反応液は、DNA (10 ng/ μ L) 5 μ L, 各プライマー溶液 (50 μ M) 0.5 μ L, dNTP 5 μ L, 2×KOD FX PCR buffer 25 μ L, KOD FX 0.5 μ L, 水 13.5 μ L とした。PCR 反応条件は、まず 95°C で 5 分保温した後、95°C 30 秒, 55°C 30 秒, 72°C 1 分を 40 サイクル、最後に 72°C 5 分、ついで 4°C で保温した。PCR で得られた産物は、2% (w/v) 低融解アガロースゲルにて電気泳動し、790 bp 付近の断片を含む部分を切り出した。切り出したゲルは、1.5 mL チューブにいれ、buffer QG 300 μ L を加え 55°C, 5 分間保温し、ゲルを融解させた。その溶液にイソプロパノール 100 μ L を加え混合し、チューブにセットしたシリカゲルメンブレンに 12000 rpm, 1 分間遠心負荷した。次に buffer QG 500 μ L, buffer PE 750 μ L を順に 12000 rpm, 1 分間、遠心負荷し、メンブレンを洗浄した。最後に、12000 rpm, 1 分間遠心しメンブレンを乾燥させ、水 50 μ L で DNA を溶出し、プローブ溶液とした。さらに AlkPhos Direct Labeling and Detection system (GE Healthcare Life Sciences) を用いて、プローブの標識を行った。プローブ溶液 (10 ng/ μ L) 10 μ L は 96°C, 5 分間の変性処理後、氷上で急冷した。このサンプルに Reaction buffer 10 μ L を加え混合し、Labeling reagent 2 μ L を加えた。さらに、あらかじめ Cross-linker solution 2 μ L に水 8 μ L を加え希釈しておいた溶液を混合し、37°C, 30 分間保温した。これを氷上で冷やし、サザンプロットに使用する検出用 AP 標識プローブとした。

ゲル電気泳動は以下の通り行った。0.8% (w/v) アガロースゲルを用いて制限酵素処理したヒヨコマメの DNA 溶液及び 1 kb サイズマーカー各 10 μ L, 陽性コントロールとしてプローブ溶液 (10 ng/ μ L) 0.1 μ L を 10×ローディングダイと混合し、低電圧 (50V) で泳動した。ローディングダイがゲルの 7 割まで移動したら泳動を終了し、ゲルを EtBr 溶液 (エチジウムブロミド 10 μ g を含む TAE バッファー 100 mL) 中で 30 分間振盪染色した。UV 照射下で泳動バンドの確認をした後、変性溶液 (1.5 M NaCl, 0.5 M NaOH) で 30 分間振盪、次いで中和溶液 (1.5 M NaCl, 0.5 M Tris-HCl (pH7.2), 10 mM

EDTA)で30分間振盪し、DNAの変性処理を行った。このゲルは1×SSPEトランスファーバッファーを使用して、Hybond-N⁺に毛細管現象を利用し20時間トランスファーさせ、その後80°C、2時間ベーキングを行いDNAをメンブレンに固定化した。ハイブリバッックにメンブレンと75°Cに温めておいたハイブリバッファー(0.25M NaCl)15mLを入れシールし、75°C、30分間振盪し、プレハイブリを行った。次に、AP標識プローブ24μL(DNA75ng)をハイブリバッファーによく混合し、75°C、3時間振盪した。このメンブレンは、あらかじめ75°Cに温めておいた一次洗浄バッファーで75°C、20分間振盪した。一次洗浄はこれを4回繰り返した。二次洗浄は、二次洗浄バッファーで室温、10分間の振盪を2回繰り返した。最後にCDP-starを添加し、LAS4000mini(GE Healthcare Life Sciences)にて化学発光を検出した。

2. コメ陽性対照用プライマー及びプローブの比較検討

1. 試料

コメ陽性対照には、日本晴から精製したDNAを使用した。特異性試験には、13種の作物(トウモロコシ、オオムギ、カラスムギ、コムギ、ダイズ、ヒヨコマメ、ナタネ、コマツナ、テンサイ、アマ、ジャガイモ、ワタ、パパイヤ)から精製したDNAを供した。

2. DNA精製

DNA抽出・精製には、イオン交換樹脂タイプのDNA抽出・精製キット(QIAGEN Genomic-tip)を使用した改変法を用いた。

ジャガイモ及びパパイヤは可食部をミルサーで均質に細粉碎し、10gをDNA抽出用試料とした。G2緩衝液30mL、Cellulase500μL、α-amylase(高濃度品)20μLとRNaseA(100mg/mL)20μLを加え混合し、50°Cで1時間保温した。次に、ProteinaseK(20mg/mL)200μLを加え混合し、50°Cで1時間保温した。その他の作物は種子を均質に細粉碎し、0.5gをDNA抽出用試料とした。G2緩衝液10mL、Cellulase167μL、α-amylase(高濃度品)6.7μLとRNaseA(100mg/mL)6.7μLを加え混合し、50°Cで1時間保温した。次に、ProteinaseK(20mg/mL)67μLを加え混合し、50°Cで1時間保温した。

酵素処理後、その遠沈管を3,000×g、4°C、15分間遠心した。その間、あらかじめ50mL遠沈管上にQIAGEN Genomic-tip 100/GをセットしQBT緩衝

液3mLを通して平衡化した。遠心終了後、得られた上清を、平衡化したQIAGEN Genomic-tip 100/Gに負荷した。次に、QIAGEN Genomic-tip 100/GをQC緩衝液で7.5mLずつ3回洗浄した後、あらかじめ50°Cに温めておいたQF緩衝液1mLを負荷し、溶出液は捨てた。QIAGEN Genomic-tip 100/Gを新しい遠沈管上にセットし、再度50°Cに温めておいたQF緩衝液2mLを負荷し、DNAを溶出した。DNA溶出液にイソプロピルアルコール2mLを加えよく混合した。マイクロ遠沈管(1.5mL容)1本当たり1mL程度ずつ、混合した溶液を移し、10,000×g以上で、4°C、15分間遠心した。上清を捨て、70%(v/v)エタノールを1mLずつ加え10,000×g以上で4°C、5分間遠心した。上清を捨て、残った沈殿を風乾させた後、予め50°Cに温めた滅菌蒸留水50μLに溶解し、DNA試料原液とした。

3. コメ内在性遺伝子を標的とした定性リアルタイムPCR用プライマー・プローブ

本研究で使用した3種のコメ内在性遺伝子を検出するためのオリゴの塩基配列は以下の通りである。

・Phospholipase D (GenBank accession no. AB001919)を検出するコメ陽性対照プライマー・プローブ(PLD)

<PLD1(バイエル社で開発)>
KVM159: 5'-TGGTGAGCGTTTGCAGTCT-3'
KVM160: 5'-CTGATCCACTAGCAGGAGGTCC-3'
TM013:
FAM-TGTTGTGCTGCCAATGTGGCCTG-TAMRA

<PLD2(本研究で開発)>
PLD3959F : 5'-GCTTAGGAAACAGGGAAGTAAAGTT-3'
PLD4038R : 5'-CTTAGCATAGTCTGTGCCATCCA-3'
PLD-P : FAM-TGAGTATGAACCTGCAGGTCGC-TAMRA

・Sucrose phosphate synthase (GenBank accession no. U33175)を検出するコメ陽性対照プライマー・プローブ(SPS)

<SPS(J. Agric. Food Chem. 58, 11543-11547, 2010)>
Sps-Taq-1F: 5'-TTGCGCCCTGAACGGATAT-3'
Sps-Taq-1R: 5'-CGGTTGATCTTTCGGGATG-3'
Sps-P: FAM-TCCGAGCCGTCCGTGCGTC-TAMRA

・Rice Starch branching enzyme 4 (GenBank accession no. EF055878)を検出するコメ陽性対照プライマー・プローブ(RBE4)

<RBE4 (*Eur. Food Res. Technol.*, 234, 981-993, 2012) >

Rbe4rt-F:

5'-GTTTAGTTGGGTGAAAGCGGTT-3'

Rbe4rt-R:

5'-CCTGTTAGTTCTTCCAATGCCCTTA-3'

Rbe4rt-P:

FAM-TCTGGTTGGGAATAGATACT-MGB

4. リアルタイムPCR反応及び結果解析

PCR用反応液は25 μL/wellとして組成は以下のとおり調製した。Universal PCR Master Mix 12.5 μL, 対象プライマー対溶液 (各プライマー, 50 μmol/L) 各0.4 μL, 対象プローブ溶液 (10 μmol/L) 0.25 μL を混合し, DNA試料液 5 μL (10 ng/μL)を添加し滅菌蒸留水で全量 25 μLとした。PCRのブランク反応液として, DNA試料液を加えないものについても同時に調製した。DNA試料液あたり2ウェル並行して試験を行った。プレートはシールし, 軽く遠心後, MicroAmp Optical Cover Compression Pad をのせ, 装置にセットした。その後, 反応とデータの取り込みを開始した。反応条件は, 95°Cで10分間加温し, ホットスタート法で反応を開始した。その後, 95°C 20秒, 60°C 1分を1サイクルとして, 50サイクルの增幅反応を行った。測定結果の解析は, Amplification plot上で指数関数的な増幅曲線とCt値の確認, 及び, multicomponent上での対象色素由来の蛍光強度 (FAM) の指数関数的な明確な増加の確認をもって行った。目視で Amplification plot上に指数関数的な増幅曲線が確認された場合には, ベースライン (3サイクルから15サイクル) のΔRnのノイズ幅の最大値の上側で, 安定した指数関数的な増幅曲線上で交わる Threshold line (Th. Line 0.2)を選択した。そのTh. lineからCt値を得た。

5. 特異性確認試験

日本晴及びコメ以外の13種の作物から精製したDNA溶液を10 ng/μLに調整し, 4種のコメ陽性対照プライマー及びプローブを用いてリアルタイムPCR反応を行った。増幅曲線とCt値の確認を行うとともに, Agilent2100 バイオアナライザを用いて, PCR産物のサイズを確認した。

泳動に用いたDNAは, リアルタイムPCR後に得られた反応液を1/10に希釈し, それをバイオアナライザの解析に供した。試薬及びDNA用ラボチップはAgilent DNA1000キットを用いた。分析サンプルの準備は以下の方法で行った。キットに含まれている Gel(赤)に室温に戻した Dye(青)15 μL を加えボルテックスでよく混合し, 2240×g, 10分間, 室温でスピンドルフィルターを用いて遠心濾過し Gel-Dye Mix を作成した。その Gel-Dye Mix 9 μL をDNAチップの「G(白抜き)」ウェルに入れ, チップ調整スタンドにセットし, プランジャーを押し, クリップにひっかけたまま 60秒放置した。次に, クリップのストッパーをはずし 5秒後にゆっくりプランジャーを元の位置に戻した。チップにゲルが充填されたことを確認し, 残りの「G」ウェル3か所に Gel-Dye Mix 各9 μLずつ入れた。その後, マーカー(緑) 5 μL をラダウェルとサンプルウェルにそれぞれ加えた。さらにラダー(黄) 1 μL をラダウェルに入れ, 調整したDNA溶液 1 μL をサンプルウェルに入れ, 専用ミキサーで目盛 2400/min, 1分間攪拌した。また, MilliQ 350 μL をいれた電極クリーナーチップで電極を洗浄し, 分析を開始した。分析の終了後, ゲルイメージとエレクトロフェログラムのデータから, PCR 増幅産物のサイズや増幅量を概算した。

6. 増幅効率算出

5段階希釈したコメDNA(5×10^{-3} , 5×10^{-2} , 5×10^{-1} , 5×10^0 , 5×10^1 ng)を鋳型にリアルタイムPCR試験より得られたCt値から検量線を作成し, そこから得られた検量線の傾き (slope) から増幅効率 $E=10^{(-1/slope)}-1$ を算出した。

3. リアルタイムPCRを用いたGM作物スクリーニング検査法の開発

1. 試料

GM作物のスクリーニング対象作物として, 13種の作物 (コメ, トマト, ピーマン, ナス, トウモロコシ, コムギ, ダイズ, ヒヨコマメ, ナタネ, テンサイ, アマ, ワタ, ハッピヤ) から精製したDNAを試験に供した。加工食品の実態調査用としてトマト加工食品9種, ピーマン加工食品3種, ヒヨコマメ加工食品4種, ナス加工食品3種を都内のスーパーやインターネットより購入した。

2. DNA試料の調製

DNA の抽出・精製は、イオン交換樹脂タイプのDNA 抽出精製カラム（QIAGEN Genomic-tip）を使用し、以下の方法により行った。

トマトペーストは3 g, パプリカパウダーは5 g を使用した。ヒヨコマメ加工食品の乾燥粉末サンプルは0.4 g, その他のヒヨコマメ加工食品はミルサーで粉碎し5 g を使用した。ヒヨコマメ以外の生鮮や加工食品はミルサーで粉碎し10 g を使用した。揚げナスに関しては、等量の水と混合しミルサーで粉碎した試料を10 g 使用した。カレーに含まれるヒヨコマメ及びナスは目視で選別し、水洗いしたサンプルを粉碎し試料とした。

試料は、G2 緩衝液 30 mL, Cellulase 500 μ L, α -amylase（高濃度品）20 μ L と RNase A（100 mg/mL）20 μ L を加え混合し、50°Cで1 時間保温した。次に、Proteinase K（20 mg/mL）200 μ L を加え混合し、50°Cで1 時間保温した。その後、その遠沈管を3,000×g, 4°C, 15 分間遠心した。その間、あらかじめ 50 mL 遠沈管上に QIAGEN Genomic-tip 100/G をセットし QBT 緩衝液 3 mL を通して平衡化した。遠心終了後、得られた上清を、平衡化した QIAGEN Genomic-tip 100/G に負荷した。次に、QIAGEN Genomic-tip 100/G を QC 緩衝液で7.5 mL ずつ3 回洗浄した後、あらかじめ 50°C に温めておいた QF 緩衝液 1 mL を負荷し、溶出液は捨てた。QIAGEN Genomic-tip 100/G を新しい遠沈管上にセットし、再度 50°C に温めておいた QF 緩衝液 2 mL を負荷し、DNA を溶出した。DNA 溶出液にイソプロピルアルコール 2 mL を加えよく混合した。マイクロ遠沈管（1.5 mL 容）1 本当たり 1 mL 程度ずつ、混合した溶液を移し、10,000×g 以上で、4°C, 15 分間遠心した。上清は捨て、70% (v/v)エタノールを1 mL ずつ 10,000×g 以上で4°C, 5 分間遠心した。上清を捨て、残った沈殿を風乾させた後、予め 50°C に温めた滅菌蒸留水 50 μ L に溶解し、DNA 試料原液とした。

3. 定性リアルタイム PCR 検出用プライマー及びプローブ

各作物の内在性遺伝子検出用（トマト, LAT ; パピイヤ, CHY ; コメ, PLD ; トウモロコシ, SSIIb ; ダイズ, Le1 ; ナタネ, FatA, アマ, SAD）及び GM 作物検出用（汎用プロモーター3 種類 : AINT, PUbi, PNOS, P35S, 汎用ターミネーター2 種類 : T35S, tNos, 抗生物質選択マーカー遺伝子 2 種

類 : HPT, NPTII, 除草剤耐性遺伝子 5 種類 : PAT, BAR, GOX, EPSPS1, EPSPS2）プライマー・プローブは表 2 に示した。

4. リアルタイム PCR 及び結果の解析

PCR 用反応液は、25 μ L /well として調製した。その組成は以下のとおりである。Universal PCR Master Mix 12.5 μ L, 対象プライマー対溶液（各プライマー, 50 μ mol/L）各 0.4 μ L, 対象プローブ溶液（10 μ mol/L）0.25 μ L を混合し、DNA 試料液 5 μ L (10 ng/ μ L) を添加し滅菌蒸留水で全量 25 μ L に調製した。PCR のブランク反応液として、必ず DNA 試料液を加えないものについても同時に調製した。DNA 試料液あたり 2 ウェル並行して試験を行った。プレートはシールし、軽く遠心後、MicroAmp Optical Cover Compression Pad をのせ、装置にセットした。その後、反応とデータの取り込みを開始した。反応条件は、50°Cで 2 分間、次いで 95°Cで 10 分間加温し、ホットスタート法で反応を開始した。その後、95°C 15 秒、60°C 1 分を 1 サイクルとして、50 サイクルの增幅反応を行った。測定結果の解析は、Amplification plot 上で指數関数的な增幅曲線と Ct 値の確認、及び、multicomponent 上での対象色素由来の蛍光強度 (FAM) の指數関数的な明確な増加の確認をもって行った。目視で Amplification plot 上に指數関数的な增幅曲線が確認された場合には、ベースライン（3 サイクルから 15 サイクル）の ΔRn のノイズ幅の最大値の上側で、安定した指數関数的な増幅曲線上で交わる Threshold line (Th. Line 0.2)を選択した。その Th. line から Ct 値を得た。

4. バスマティ米へのGMコメ混入に関する実態調査

1. 試料

非 GM コメは日本晴品種を使用し、検査対象のバスマティ米は、インターネットを通じて市販されているパキスタン産及びインド産の計 9 種を購入し、GM コメ混入スクリーニング検査に供した。

2. DNA精製

DNAの抽出・精製は、イオン交換樹脂タイプのDNA抽出・精製カラム（QIAGEN Genomic-tip）を使用して行った。均質に細粉碎し得た試料500 mg は、G2 緩衝液 15 mL, α -amylase（高濃度品）12 μ L と RNase A（100 mg/mL）30 μ L を加え混合し、